



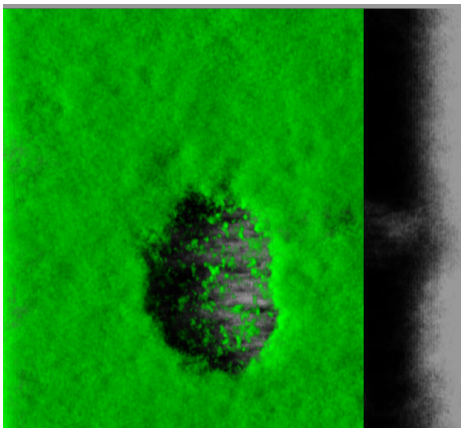
Biofilms:

*les bactéries font de la
résistance !*

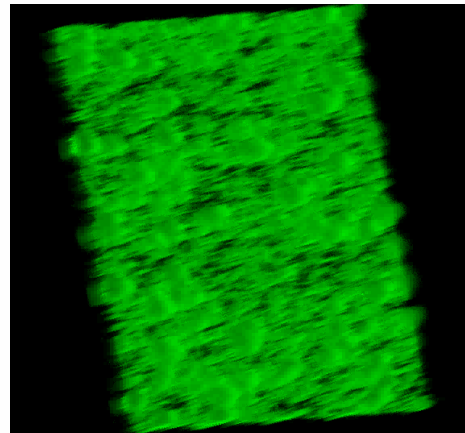
Romain Briandet

LES BACTÉRIES VIVENT EN 3D

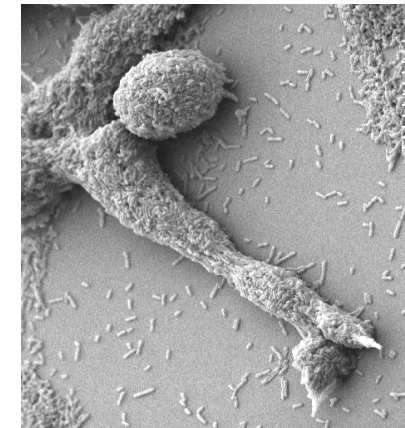
Staphylococcus aureus



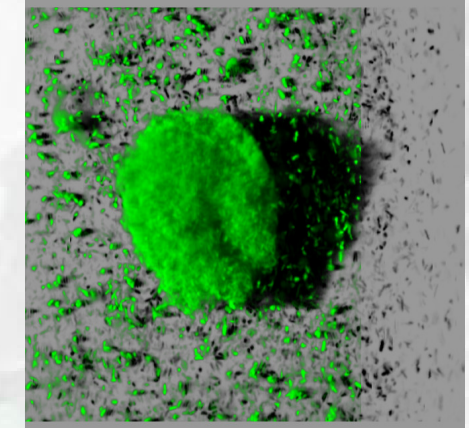
Pseudomonas aeruginosa



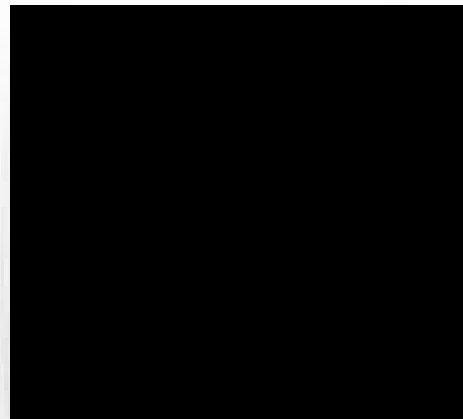
Stenotrophomonas maltophilia



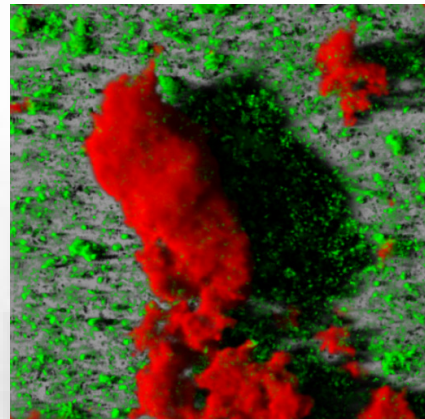
Salmonella enterica



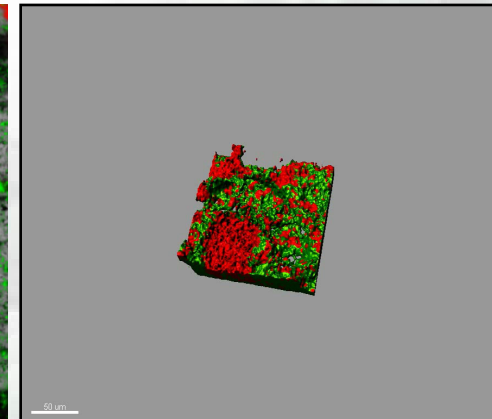
Morphotypes



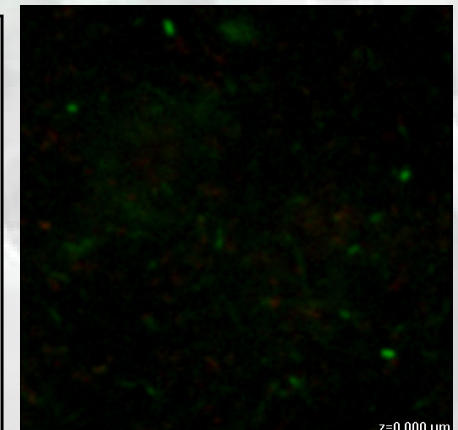
Exopolymères



Live/dead



Gene expression



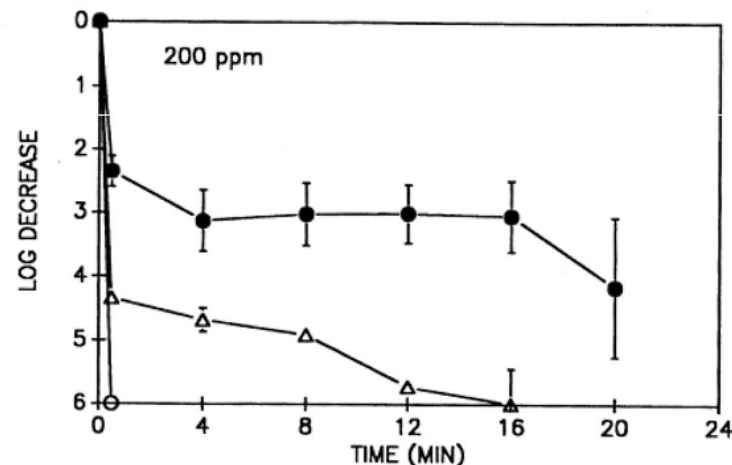
LE BIOFILM: UNE STRUCTURE DE RÉSISTANCE

Le biofilm est une structure organisée capable de fonctions spécifiques:
→ Résistance aux traitements de désinfection

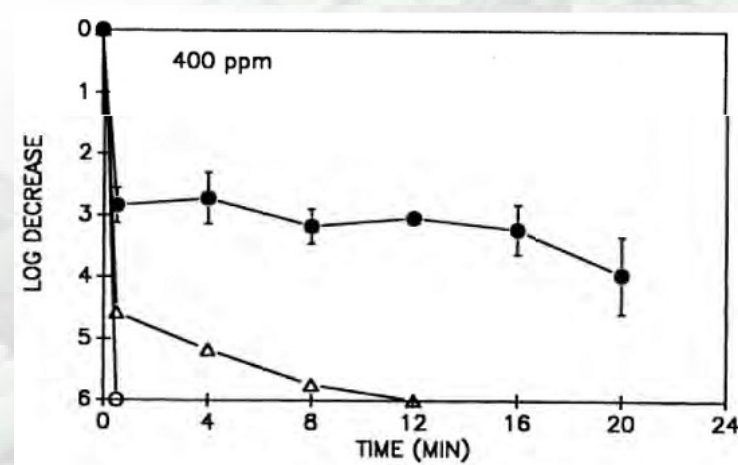
Désinfectants	Rapport de concentrations efficaces entre cellules en biofilm et cellules planctoniques
Agents oxydants	5 - 600
Ammoniums quaternaires	10 - 1000

(Dubois-Brissonnet et al, 1995; Ntsama-Essomba et al, 1997; Campanac et al 2002, Luppens et al, 2002)

Activité du chlorure de benzalkonium sur *Listeria monocytogenes* à l'état planctonique (○), adhéré (Δ) et en biofilm (●).



Frank and Koffi ,1990

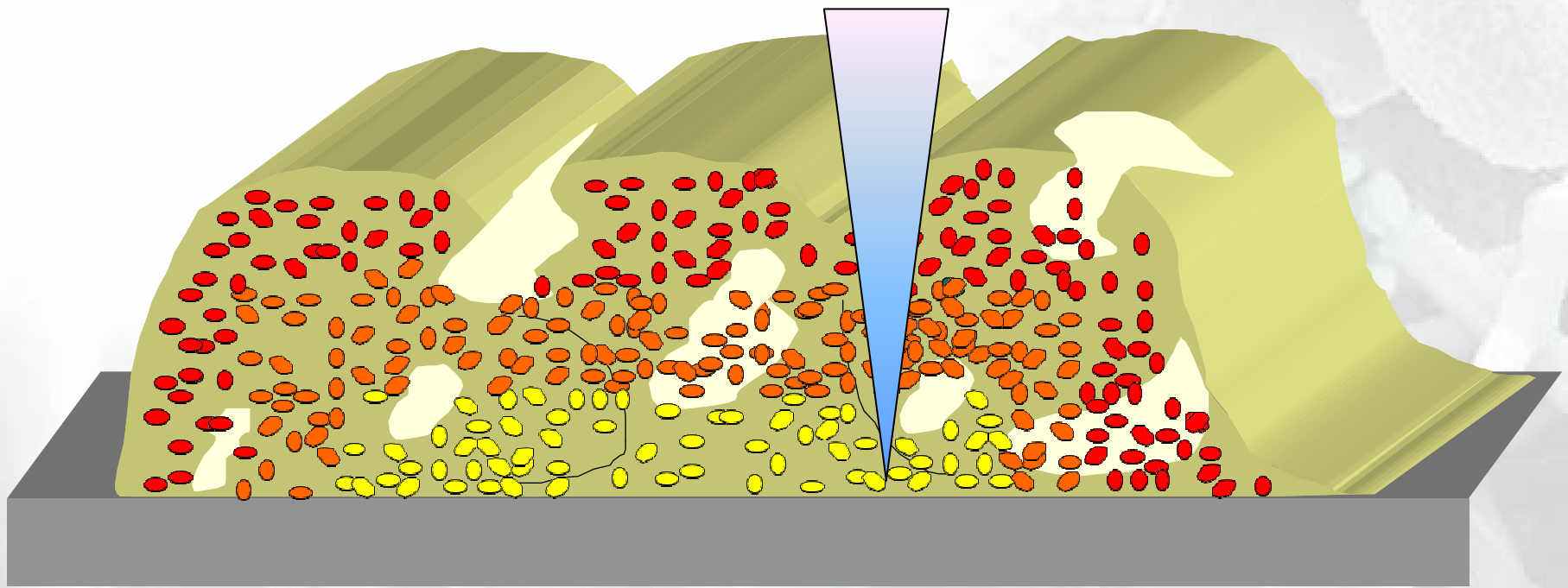


MÉCANISMES DE RÉSISTANCE DES CELLULES EN BIOFILMS

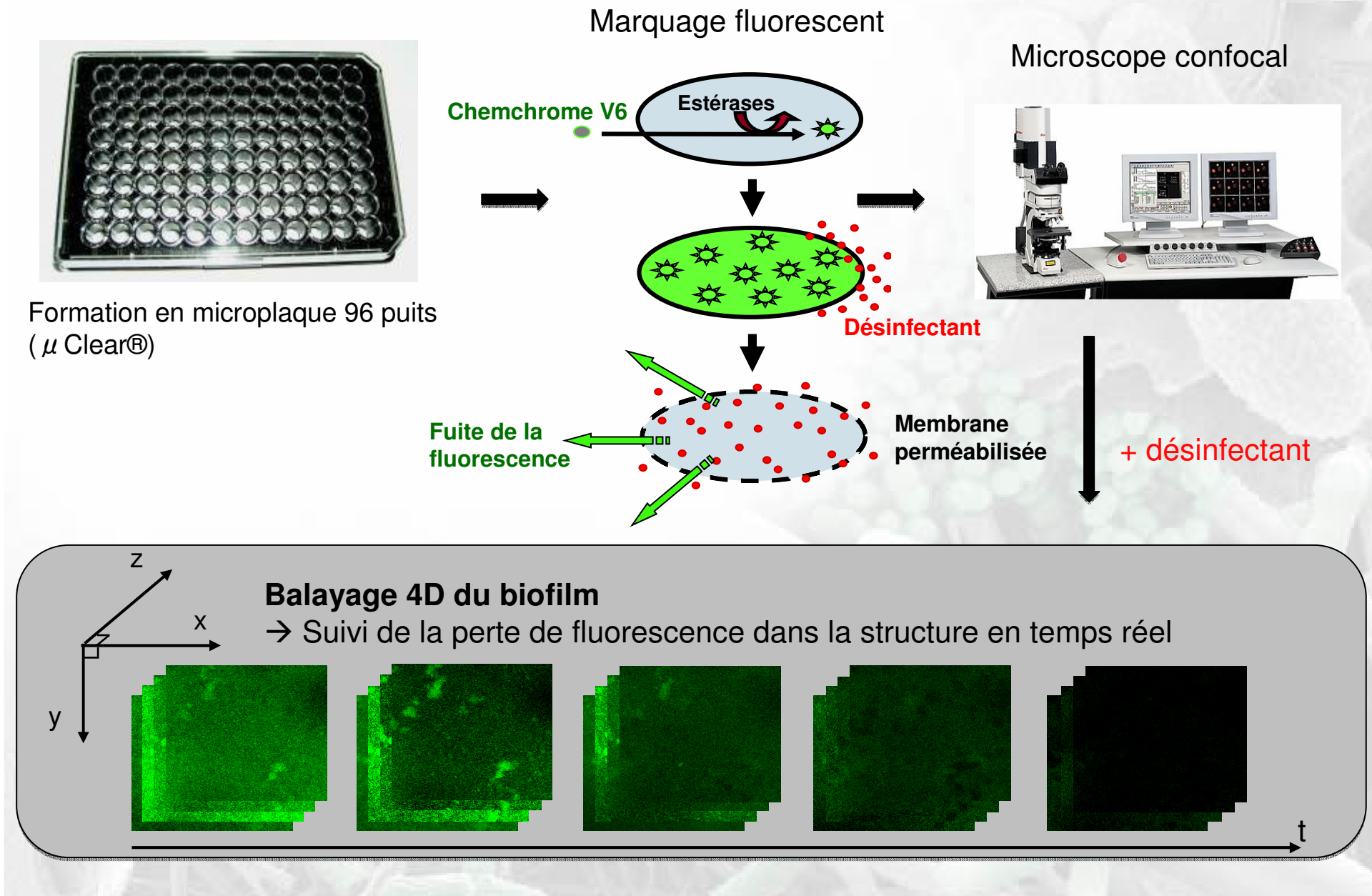
▪ Relation étroite entre l'architecture du biofilm et sa résistance

- Barrière de diffusion-réaction
- Hétérogénéité chimique: adaptation physiologique, réponse au stress
- Plasticité génétique

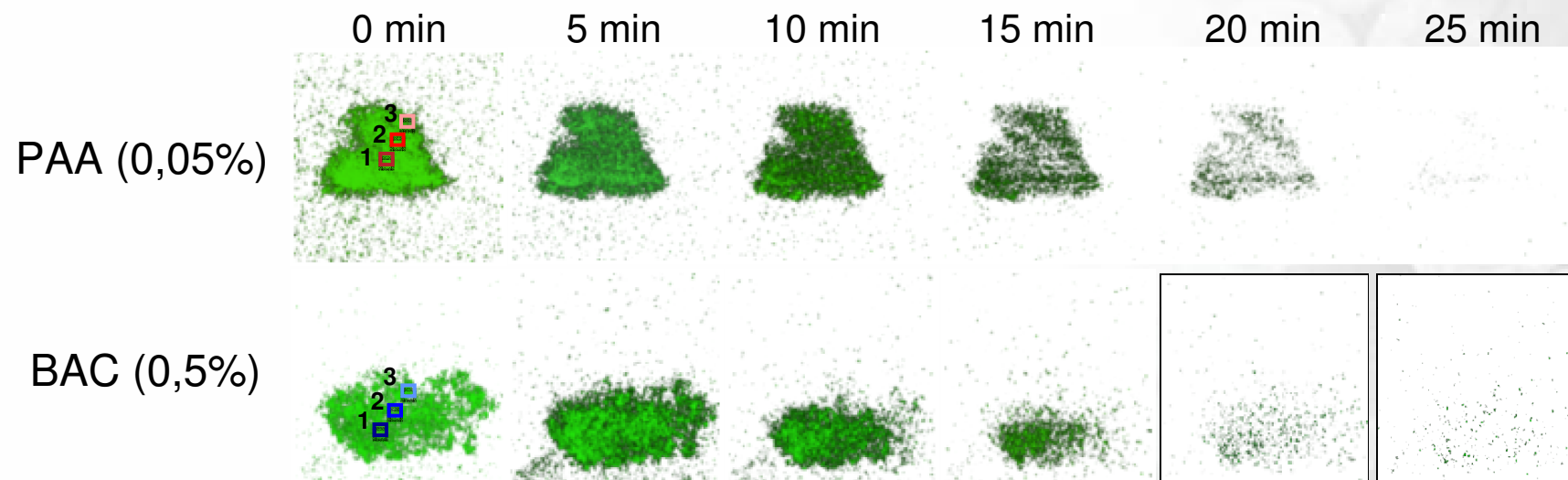
Biocide, nutriments, oxygène...



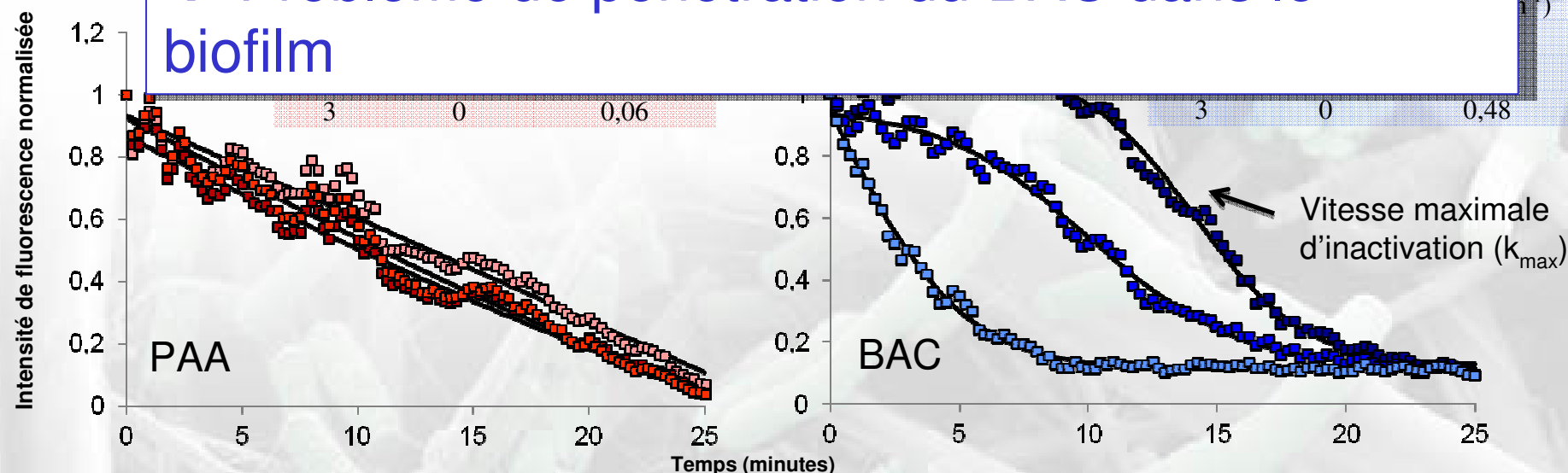
MÉTHODE DE VISUALISATION EN TEMPS RÉEL DE L'ACTION DES DÉSINFECTANTS DANS LE BIOFILM



DYNAMIQUES D'ACTION SPATIO-TEMPORELLES DES DÉSINFECTANTS



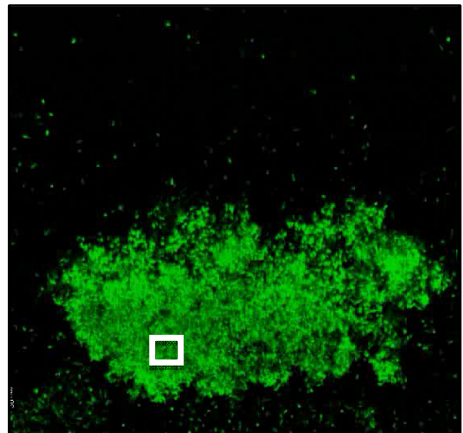
→ Problème de pénétration du BAC dans le biofilm



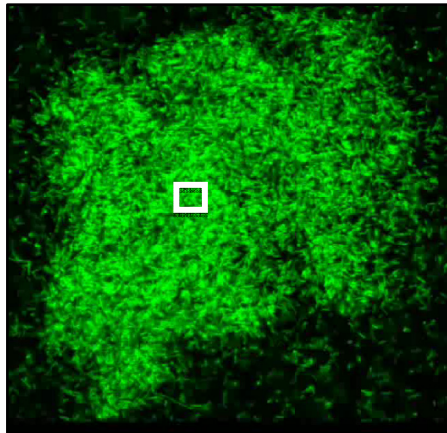
Extension des observations à des isolats cliniques pour le BAC

- Souches cliniques de l'Hôpital Universitaire de Lausanne (G. Greub)

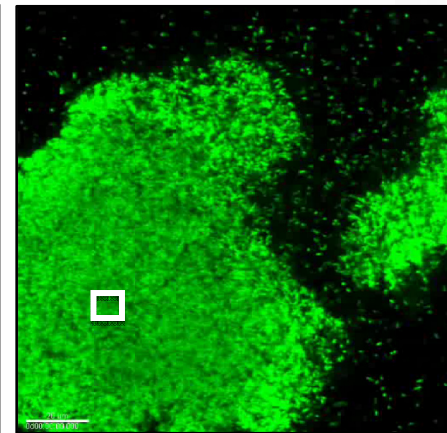
ATCC 15442



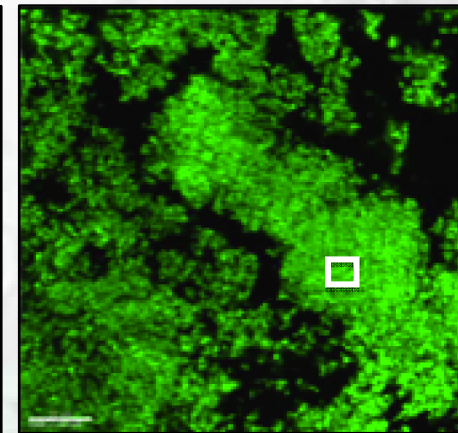
Laus 3



Laus 16

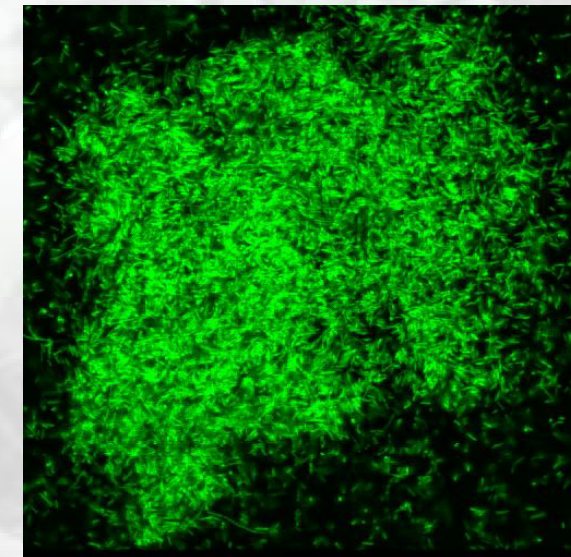


Laus 21



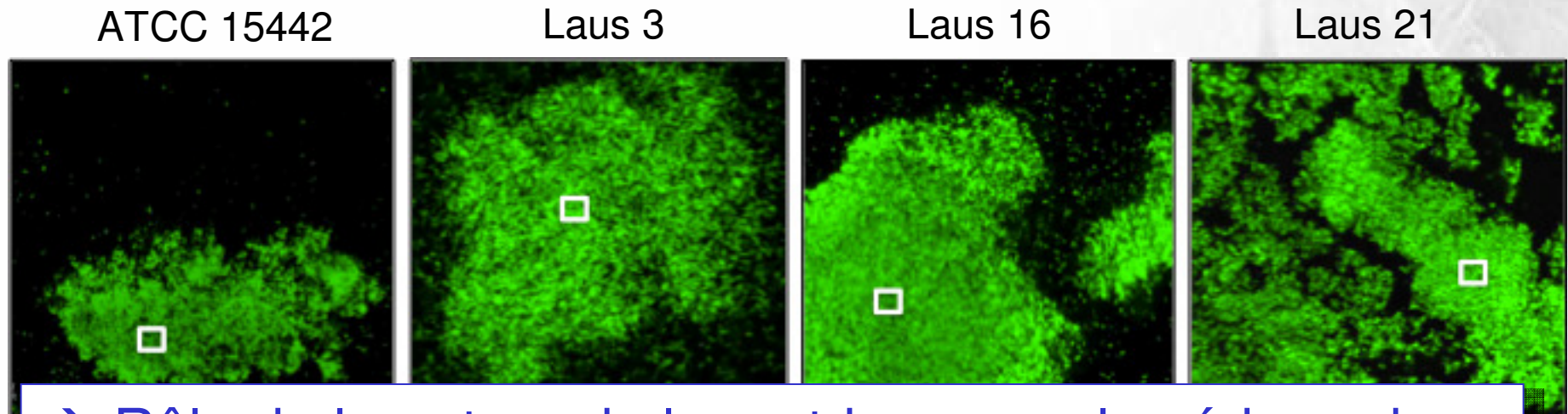
- Paramètres cinétiques d'inactivation:

souche	<i>n</i>	SI (min)	k_{\max} (min ⁻¹)
ATCC 15442	4	7.3 ± 3.7	1.6 ± 0.9
Laus 3	3	3.2 ± 1.7	4.0 ± 4.3
Laus 16	3	0.8 ± 1.3	4.6 ± 4.0
Laus 21	3	11.6 ± 4.3	0.2 ± 0.1



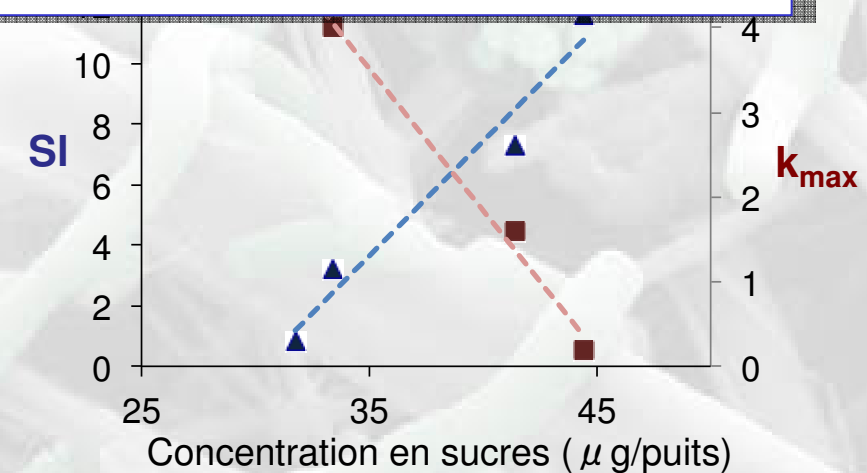
ISOLATS CLINIQUES POUR LE BAC

- Souches cliniques de l'Hôpital Universitaire de Lausanne (G. Greub)

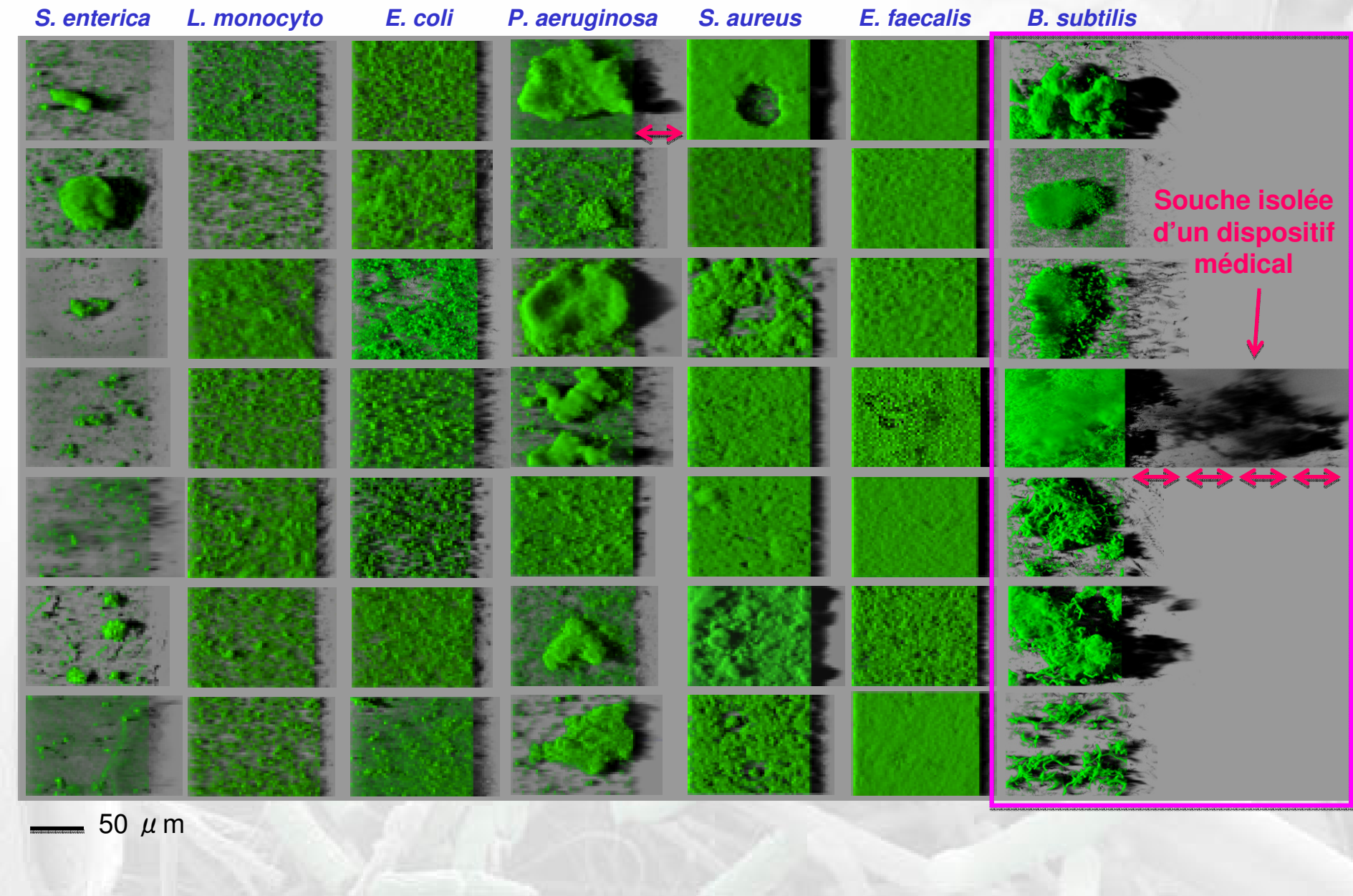


→ Rôle de la nature de la matrice exopolymérique dans les problèmes de pénétration du BAC

souche	n	SI (min)	k_{\max} (min^{-1})
ATCC 15442	4	7.3 ± 3.7	1.6 ± 0.9
Laus 3	3	3.2 ± 1.7	4.0 ± 4.3
Laus 16	3	0.8 ± 1.3	4.6 ± 4.0
Laus 21	3	11.6 ± 4.3	0.2 ± 0.1



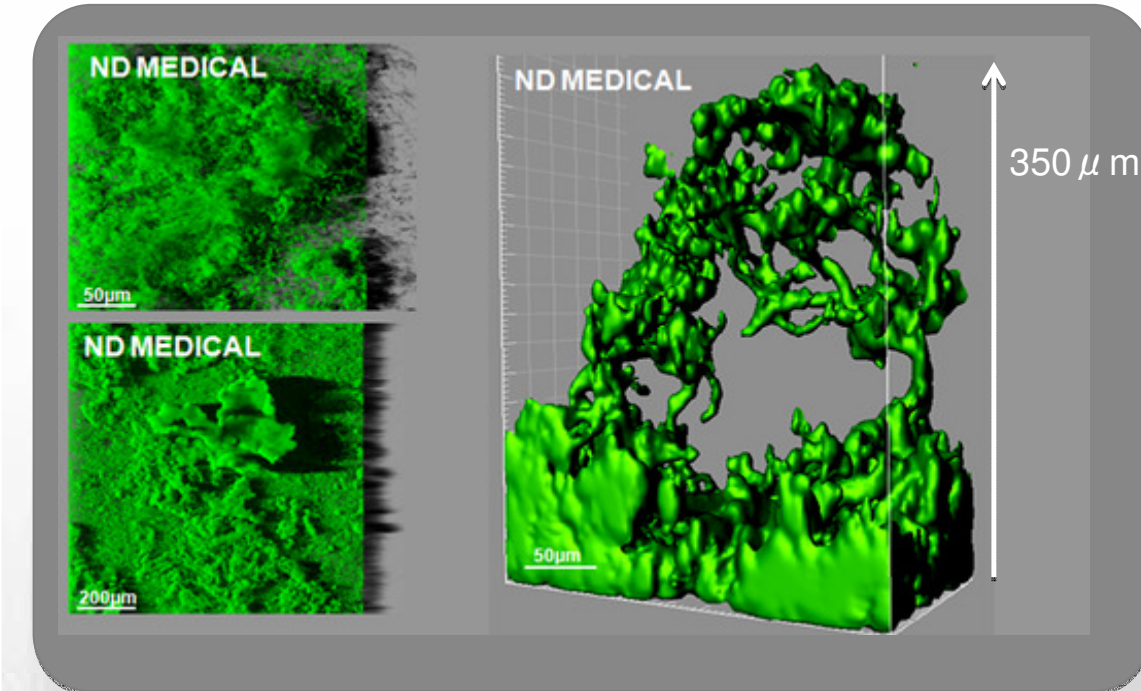
DIVERSITÉ ARCHITECTURALE DES BIOFILMS BACTÉRIENS



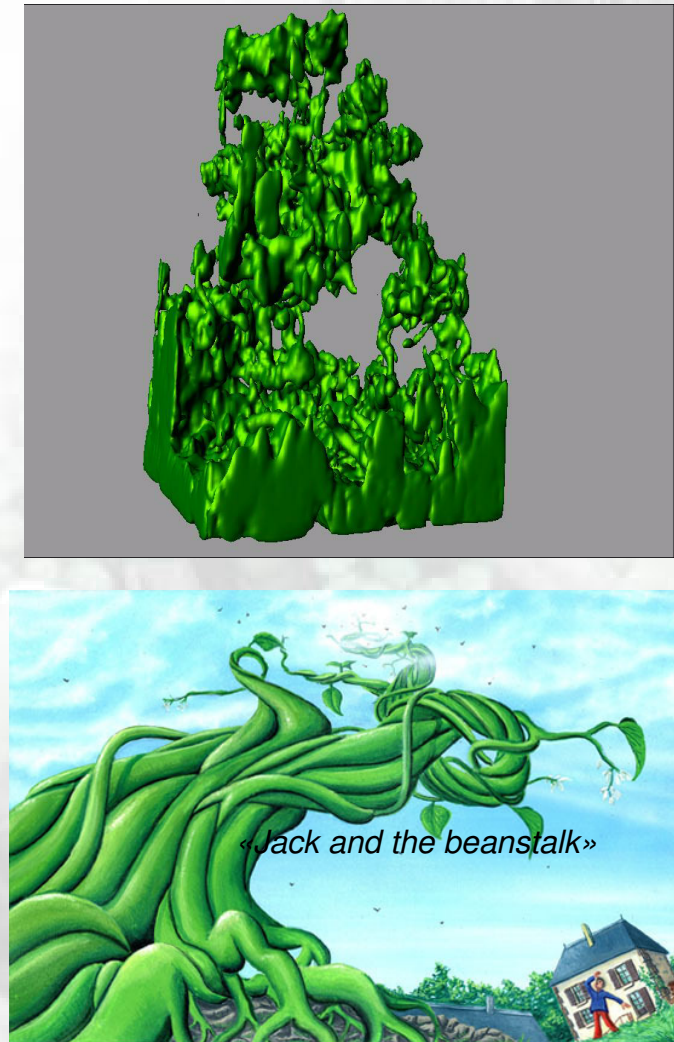
BIOFILMS DE LA SOUCHE ND_{MEDICAL}: « BEANSTALK STRUCTURES »

- Souche isolée d'un laveur-désinfecteur d'endoscopes (Martin *et al*, 2008)

→ Structures pouvant atteindre plusieurs centaines de microns

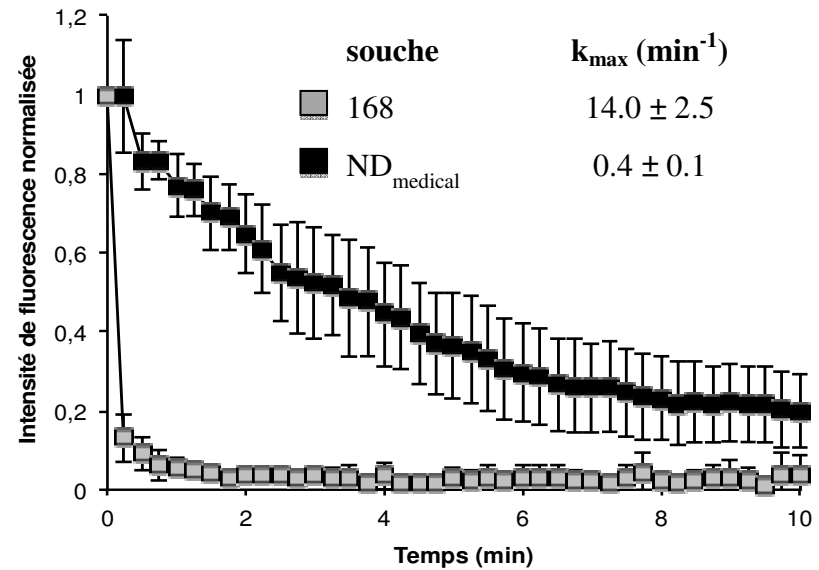
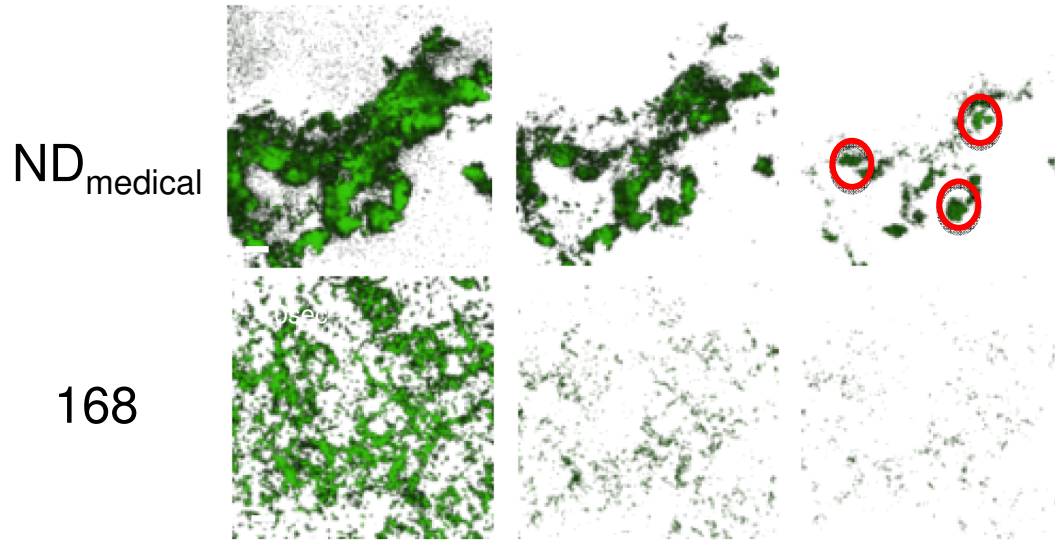


Bridier *et al*. 2011, PLoS One



HYPER-RÉSISTANCE DU BIOFILM DE LA SOUCHE ND MEDICAL AU PAA

- Visualisation de l'action du PAA (0,05%) par microscopie confocale en temps réel



- Traitement à 0,35% de PAA pendant 5 minutes

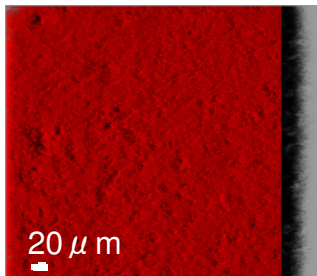
	log (CFU/puit)	
	Eau distillée	0,35% PAA
168	$7,6 \pm 0,2$	-
ND _{medical}	$7,7 \pm 0,1$	$3,9 \pm 0,6$

(-) inférieur au seuil de détection

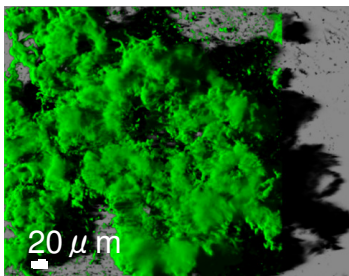
- Absence de spores dans le biofilm (dénombrement après traitement thermique)

PROTECTION DE *S. AUREUS* EN BIOFILMS MIXTES PAR LA SOUCHE ND_{MEDICAL}

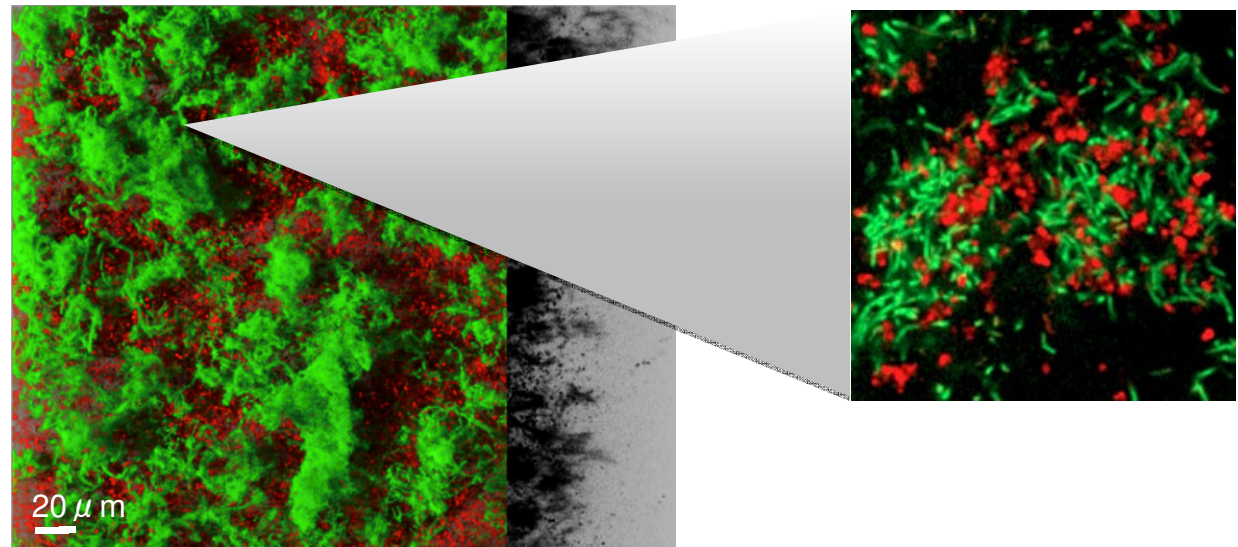
Biofilm de *S. aureus* AH478 mCherry



Biofilm de *B. subtilis* ND_{medical} GFP



Biofilm mixte *S. aureus* AH478 mCherry/ *B. subtilis* ND_{medical} GFP



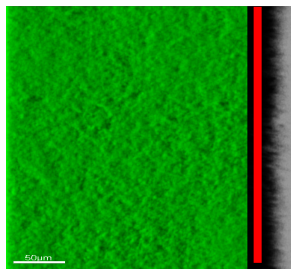
Résistance des cellules en biofilms mono-espèce ou mixtes à 0.35% de PAA, 5 minutes

	Souche	log (CFU/puits)	
		Eau distillée	0.35% PAA
Biofilm mono-espèce	<i>B. subtilis</i> ND _{medical}	7.7 ± 0.1	3.9 ± 0.6
	<i>S.aureus</i> AH478	9.3 ± 0.1	-
Biofilm mixtes	<i>B. subtilis</i> ND _{medical}	7.3 ± 0.3	3.9 ± 0.3
	<i>S.aureus</i> AH478	8.4 ± 0.1	2.6 ± 0.5

(-) inférieur au seuil de détection

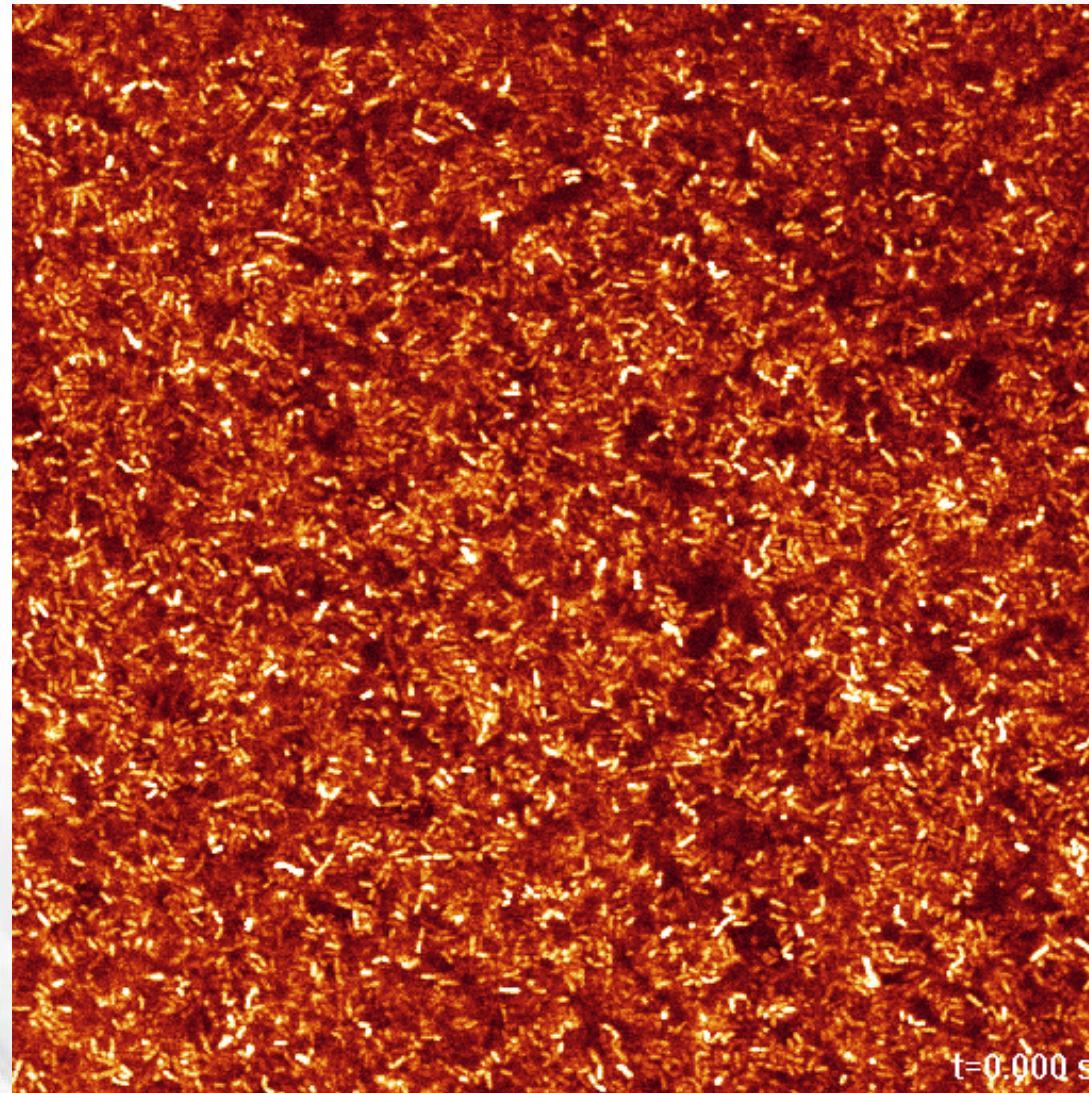
STEALTH SWIMMERS INFILTRATES THE BIOFILM MATRIX

48h



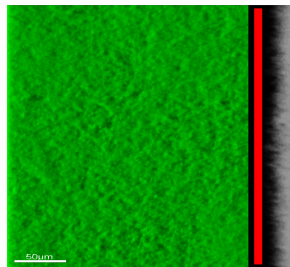
Bacillus Bt
GFP

$V_{max} \approx 20 \mu\text{m/s}$

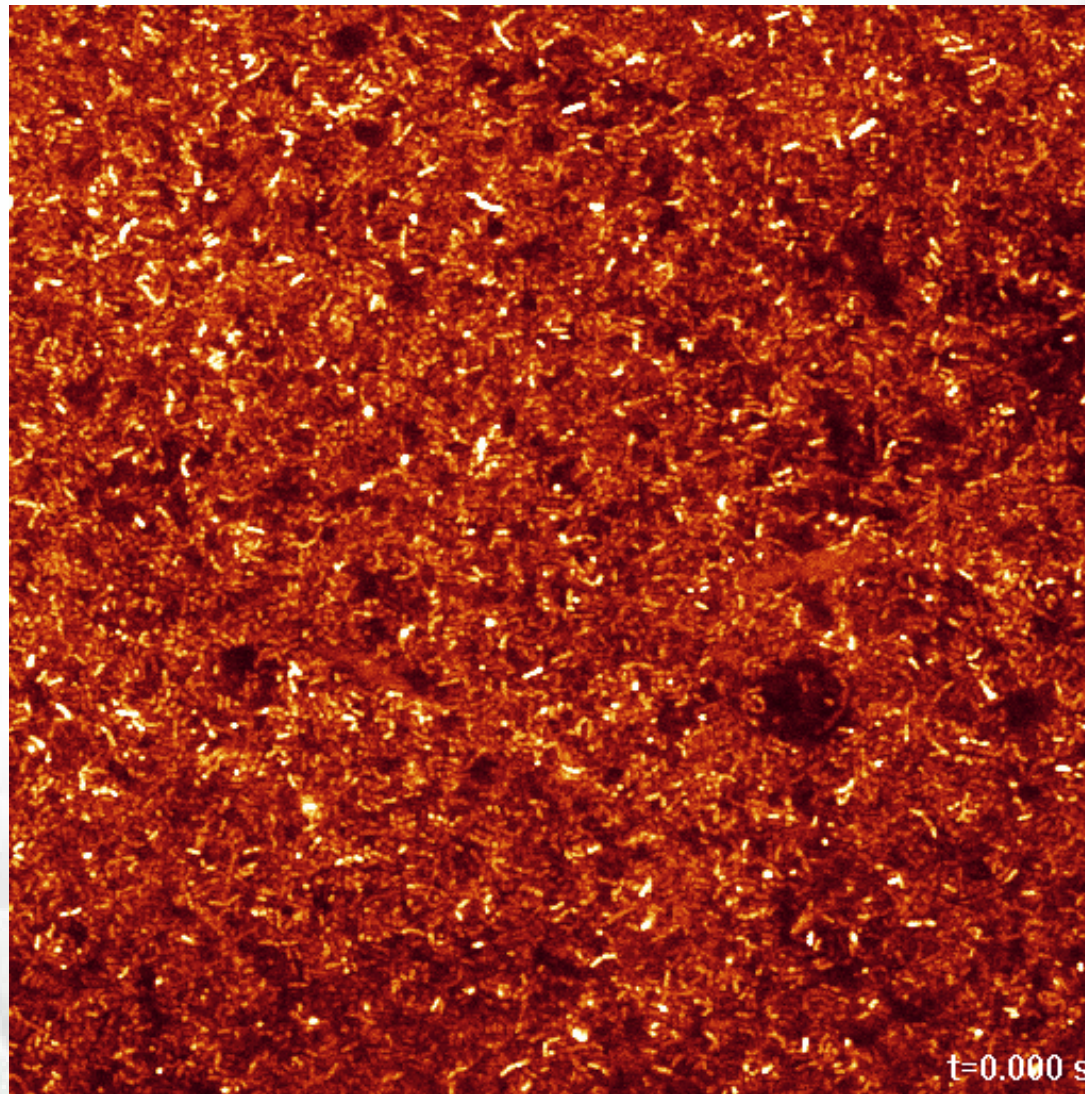


STEALTH SWIMMERS INFILTRATES THE BIOFILM MATRIX

48h



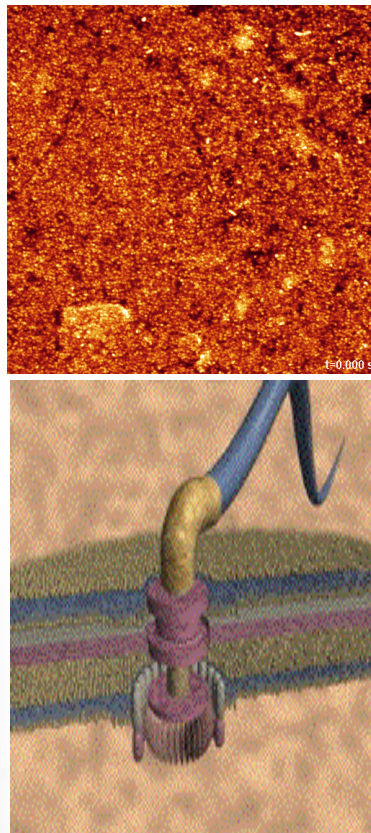
Bacillus Bt
GFP



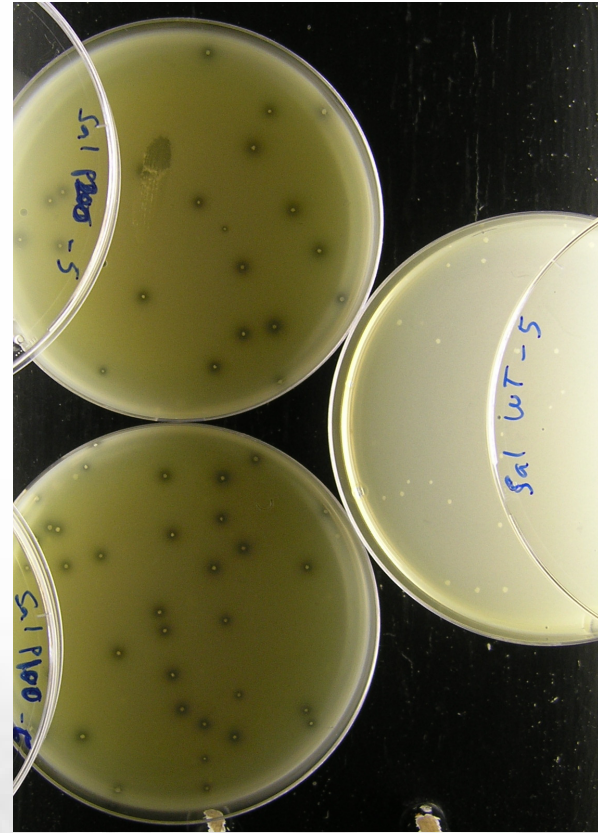
A new function
for chains in
motile bacteria ?

DISRUPTION OF *STAPHYLOCOCCUS AUREUS* BIOFILMS BY *BACILLUS THURINGIENSIS* (BT) SWIMMERS DELIVERING A BIOCIDE

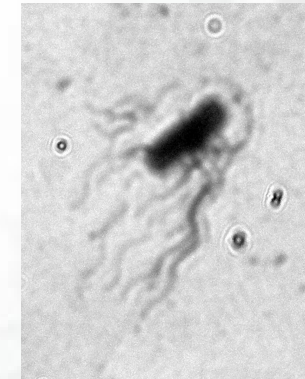
Swimmers (Bt)



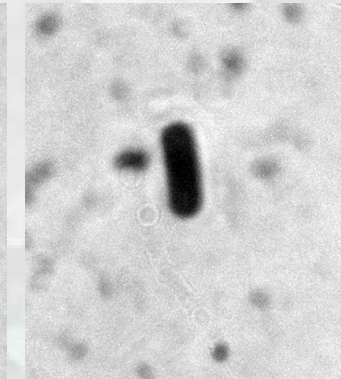
Lysostaphin (Lys+)



Bt



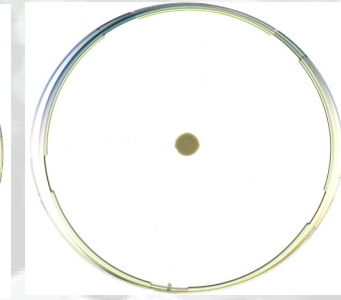
Δfla



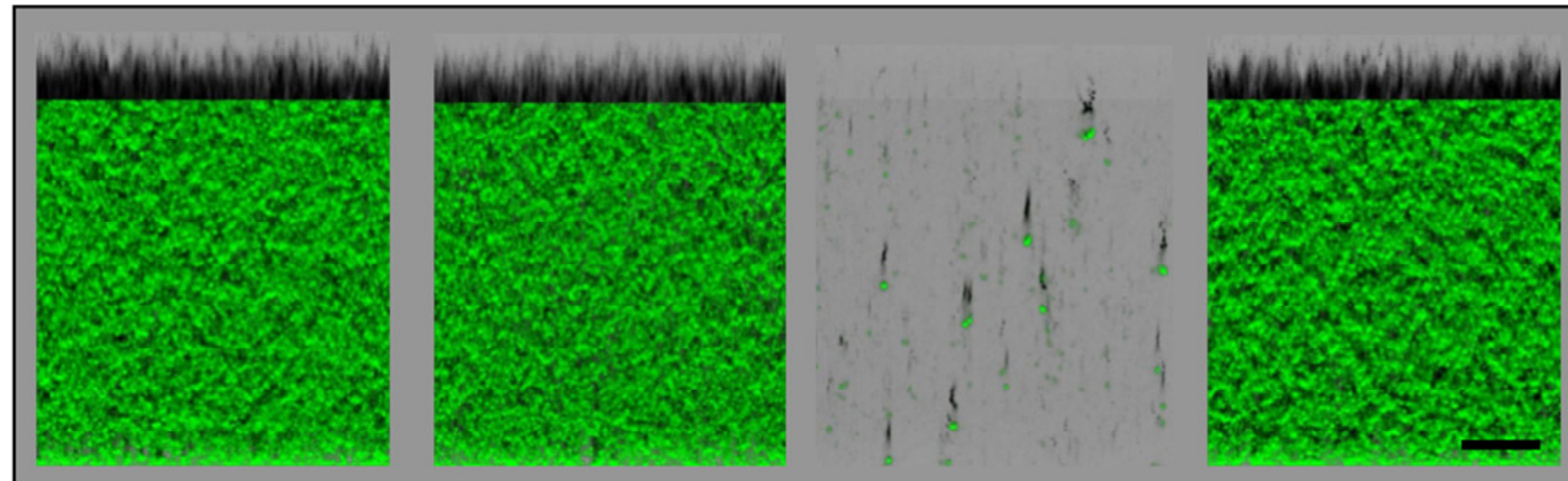
swim +



swim -



Disruption of *Staphylococcus aureus* biofilms by *Bacillus thuringiensis* (bt) swimmers delivering a biocide



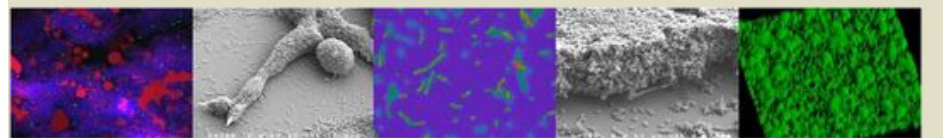
S.aureus

+Bt

+Bt Lys⁺

+Bt Δfla Lys⁺

S. aureus GFP biofilms after contact with *B. thuringiensis*
Motile (+Bt) or non-motile (+Bt Δ fla) cells, expressing (Lys+) or not lysostaphin



Les actes du colloque Dourdan 2008 **Soumission**

Accueil

[Imprimer](#)

Les Biofilms au service des Biotechnologies

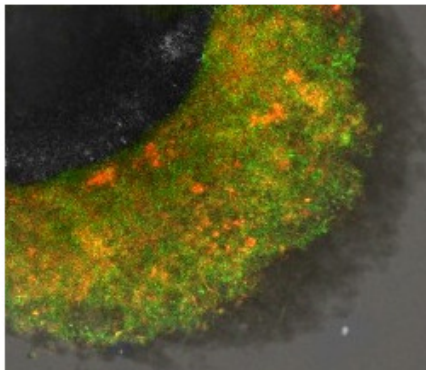
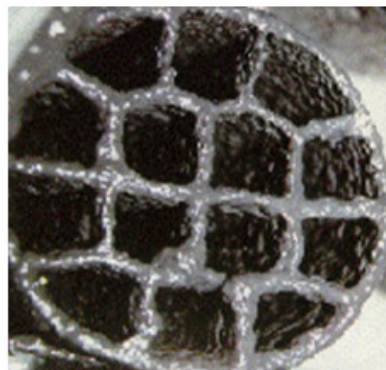
Appel à communications jusqu'au 1 novembre 2011 (onglet "Soumission")

Bioénergies, Agro-Alimentaire, Environnement
24-26 janvier 2012 - Narbonne

Ce colloque est organisé par le Réseau National Biofilms et l'INRA de Narbonne.

Ces journées se tiendront dans la salle des Synodes à l'Hôtel de ville de Narbonne

Programme des cinquièmes journées du RNB
[Télécharger la plaquette du colloque \(fichier pdf\)](#)
[Télécharger la fiche d'inscription \(fichier word\)](#)
[Note aux auteurs \(fichier pdf\)](#)



https://colloque2.inra.fr/reseau_national_biofilm



Merci !

A. Bridier, J. Deschamps, P. Sanchez-Vizuete, O. Habimana, A. Houry, D. Perez-Nunez, E. Tischenko, M. Renault, M. Guilbaud, S. Durieux, J.-M. Herry, T. Meylheuc, F. Dubois-Brissonnet, M. Naïtali, G. Gerlot, B. Carnez, V. Chaplain, J.-C. Piard, M.-P. Chapot-Chartier, S. Kulakauskas, E. Guédon, M. Gohar, D. LeCoq, S. Aymerich, A. Gruss, M.-N. Bellon-Fontaine ([MICALIS – Jouy en Josas](#)) V. Thomas ([Steris - Fontenay](#)) K. Steenkeste, S. Daddy-Oubekka, M.-P. Fontaine-Aupart ([CNRS - Orsay](#))

A. Bergel, N. Bernet, T. Bouchez, C. Compère, M. Dubow, F. Garrido, M. Hébraud, Y. Héchard, E. Paul, P. Piveteau, B. Tribollet ([Réseau National Biofilms](#))